



# Método de líneas para una ecuación parabólica

Andry Alexander Peregrino Rodríguez<sup>1</sup>  
Justino Alavez Ramírez<sup>2</sup>

Universidad Juárez Autónoma de Tabasco

<sup>1</sup>andry18peregrino@gmail.com  
<sup>2</sup>justino.alavez@ujat.mx



## Resumen

El método de líneas es un método muy popular para resolver ecuaciones diferenciales parciales lineales y no lineales de tipo parabólico. Este método conduce a la necesidad de resolver un sistema de ecuaciones diferenciales ordinarias stiff. En este cartel se aplica el método de líneas para resolver un problema de ecuaciones diferenciales parciales de tipo parabólico, y los métodos de Euler, Euler hacia atrás y trapezoidal para resolver el sistema stiff que resulta.

## 1. Planteamiento del problema

El objetivo es estudiar la resolución numérica del problema definido por la ecuación diferencial parcial parabólica:

$$U_t(x, t) = U_{xx} + G(x, t), \quad 0 < x < 1, \quad t > 0, \quad (1.1)$$

$$U(0, t) = d_0(t), \quad U(1, t) = d_1(t), \quad t \geq 0, \quad (1.2)$$

$$U(x, 0) = f(x), \quad 0 \leq x \leq 1, \quad (1.3)$$

donde  $U$  es una función desconocida que depende del tiempo  $t$  y de la variable espacial  $x$ , y  $U_t = \partial U / \partial t$ ,  $U_{xx} = \partial^2 U / \partial x^2$ . Las condiciones (1.2) se llaman **condiciones de frontera** y (1.3) se llama **condición inicial**. La solución  $U$  se puede interpretar como la temperatura de una varilla aislada de longitud 1 con  $U(x, t)$  la temperatura en la posición  $x$  al tiempo  $t$ ; por lo que (1.1) se le llama **ecuación de calor**. Las funciones  $G$ ,  $d_0$ ,  $d_1$  y  $f$  se suponen conocidas y con suficiente suavidad.

## 2. Método de líneas

Sea  $m > 0$  un número entero,  $\delta = 1/m$  y definamos los nodos espaciales

$$x_j = j\delta, \quad j = 0, 1, \dots, m.$$

Discretizamos (1.1) aproximando la derivada espacial  $U_{xx}$  con la fórmula de diferencia central de segundo orden:

$$U_{xx}(x_j, t) = \frac{U(x_{j+1}, t) - 2U(x_j, t) + U(x_{j-1}, t))}{\delta^2} - \frac{\delta^2 \partial^4 U(\xi_j, t)}{12 \partial x^4} \quad (2.1)$$

para  $j = 1, 2, \dots, m-1$ , donde cada  $\xi_j \equiv \xi_j(t)$  es algún punto entre  $x_{j-1}$  y  $x_{j+1}$ . Sustituyendo (2.1) en (1.1) obtenemos:

$$U_t(x_j, t) = \frac{U(x_{j+1}, t) - 2U(x_j, t) + U(x_{j-1}, t))}{\delta^2} + G(x_j, t) - \frac{\delta^2 \partial^4 U(\xi_j, t)}{12 \partial x^4}, \quad 1 \leq j \leq m-1. \quad (2.2)$$

Eliminando el último término de (2.2) que es el error de truncamiento en la diferenciación numérica y forzando la igualdad, obtenemos

$$u_j'(t) = \frac{1}{\delta^2} [u_{j+1}(t) - 2u_j(t) + u_{j-1}(t)] + G(x_j, t) \quad (2.3)$$

para  $j = 1, 2, \dots, m-1$ . Las funciones  $u_j(t)$  se pretende que sean aproximaciones de  $U(x_j, t)$ ,  $1 \leq j \leq m-1$ . Este es la aproximación del **método de líneas** a (1.1), y es un sistema de  $m-1$  ecuaciones diferenciales ordinarias. Las funciones  $u_0(t)$  y  $u_m(t)$ , que se necesitan en (2.3) para  $j = 1$  y  $j = m-1$ , se obtienen de (1.2):

$$u_0(t) = d_0(t), \quad u_m(t) = d_1(t). \quad (2.4)$$

Y la condición inicial para (2.3) resulta de (1.3):

$$u_j(0) = f(x_j), \quad 1 \leq j \leq m-1. \quad (2.5)$$

El término **método de líneas** viene de la resolución de  $U(x, t)$  a lo largo de las líneas  $(x_j, t)$ ,  $t \geq 0$ ,  $1 \leq j \leq m-1$  en el plano  $xt$ . Bajo supuestos adecuados sobre  $d_0$ ,  $d_1$ ,  $G$  y  $f$ , se puede demostrar que:

$$\max |U(x_j, t) - u_j(t)| \leq C_T \delta^2, \quad 0 \leq j \leq m, \quad 0 \leq t \leq T, \quad (2.6)$$

lo que muestra que la solución  $\{u_j\}_{0 \leq j \leq m}$  converge a la solución exacta  $U$  cuando  $\delta \rightarrow 0$ .

Para completar el proceso de solución, necesitamos resolver el sistema (2.3). Para ello, es conveniente escribir (2.3) en forma matricial. Pongamos

$$\mathbf{u}(t) = [u_1(t), \dots, u_{m-1}(t)]^T, \quad \mathbf{u}_0 = [f(x_1), \dots, f(x_{m-1})]^T,$$

$$\mathbf{g}(t) = \left[ \frac{d_0(t)}{\delta^2} + G(x_1, t), G(x_2, t), \dots, G(x_{m-2}, t), \frac{d_1(t)}{\delta^2} + G(x_{m-1}, t) \right]^T,$$

$$\Lambda = \frac{1}{\delta^2} \begin{bmatrix} -2 & 1 & 0 & \dots & 0 \\ 1 & -2 & 1 & \dots & 0 \\ \vdots & \vdots & \vdots & \ddots & \vdots \\ 0 & \dots & 1 & -2 & 1 \\ 0 & \dots & 0 & 1 & -2 \end{bmatrix}.$$

La matriz  $\Lambda$  es de orden  $m-1$  y  $\mathbf{u}$  y  $\mathbf{g}$  son vectores columna de longitud  $m-1$ . Utilizando estas matrices, las ecuaciones (2.3) a (2.5) se reescriben como un problema con valor inicial:

$$\mathbf{u}'(t) = \Lambda \mathbf{u}(t) + \mathbf{g}(t), \quad \mathbf{u}(0) = \mathbf{u}_0. \quad (2.7)$$

Para analizar si la ecuación (2.7) tiene características stiff, necesitamos los valores propios de  $\Lambda$ , que están dados por

$$\lambda_j = -\frac{4}{\delta^2} \sin^2 \left( \frac{j\pi}{2m} \right), \quad 1 \leq j \leq m-1. \quad (2.8)$$

Examinando directamente (2.8), notemos que

$$\lambda_{m-1} \leq \lambda_j \leq \lambda_1,$$

con

$$\lambda_{m-1} = -\frac{4}{\delta^2} \sin^2 \left( \frac{(m-1)\pi}{2m} \right) \approx -\frac{4}{\delta^2},$$

$$\lambda_1 = -\frac{4}{\delta^2} \sin^2 \left( \frac{\pi}{2m} \right) \approx -\pi^2$$

para  $m$  grande. Como

$$\frac{\lambda_{m-1}}{\lambda_1} \approx \frac{4}{(\pi\delta)^2}$$

concluimos que (2.7) es stiff si  $\delta$  es pequeño.

## 3. Solución de (2.7) por el método de Euler

Aplicando el método de Euler a (2.7), resulta el método:

$$\mathbf{V}_{n+1} = \mathbf{V}_n + h[\Lambda \mathbf{V}_n + \mathbf{g}(t_n)], \quad n \geq 0, \quad \mathbf{V}_0 = \mathbf{u}_0 \quad (3.1)$$

con  $t_n = nh$ , para algún  $h > 0$  y  $\mathbf{V}_n \approx \mathbf{u}(t_n)$ . Este es un método numérico bien conocido para la ecuación del calor, que se le llama **método explícito simple**.

Para el análisis de estabilidad del método explícito simple (3.1), se debe cumplir que

$$|1 + h\lambda_j| < 1, \quad 1 \leq j \leq m-1,$$

que es equivalente por (2.8) a

$$0 < \frac{4h}{\delta^2} \sin^2 \left( \frac{j\pi}{2m} \right) < 2, \quad 1 \leq j \leq m-1.$$

Esta última desigualdad se cumplirá si  $4h/\delta^2 \leq 2$  o bien si

$$h \leq \frac{1}{2} \delta^2. \quad (3.2)$$

Si  $\delta$  es pequeño, digamos  $\delta = 0.01$ , entonces el tamaño de paso del tiempo  $h$  debe ser muy pequeño para garantizar estabilidad del método.

## 4. Solución de (2.7) por el método de Euler hacia atrás

Aplicando ahora el método de Euler hacia atrás a la ecuación (2.7), resulta:

$$\mathbf{V}_{n+1} = \mathbf{V}_n + h[\Lambda \mathbf{V}_{n+1} + \mathbf{g}(t_{n+1})], \quad n \geq 0, \quad \mathbf{V}_0 = \mathbf{u}_0. \quad (4.1)$$

Este método se denomina **método implícito simple** para resolver la ecuación del calor. Para resolver este problema lineal para  $\mathbf{V}_{n+1}$ , lo reescribimos como:

$$(I - h\Lambda) \mathbf{V}_{n+1} = \mathbf{V}_n + h\mathbf{g}(t_{n+1}), \quad n \geq 0. \quad (4.2)$$

Resolviendo para  $\mathbf{V}_{n+1}$ , obtenemos

$$\mathbf{V}_{n+1} = (I - h\Lambda)^{-1} [\mathbf{V}_n + h\mathbf{g}(t_{n+1})], \quad n \geq 0.$$

Puesto que todos los valores propios  $\lambda_j$  de  $\Lambda$  son negativos por (2.8), los valores propios de  $(I - h\Lambda)^{-1}$  son  $1/(1 - h\lambda_j)$ , que están todos acotados por 1. Así que el método de Euler implícito simple para resolver este problema es siempre estable; no existe limitación en el tamaño de paso  $h$ , a diferencia del caso para el método de Euler explícito simple. El sistema lineal (4.2) es tridiagonal y se resuelve con aproximadamente  $5m$  operaciones aritméticas de punto flotante en cada paso del tiempo, sin incluir el costo del lado derecho. El costo para resolver el método de Euler (3.1) es casi lo mismo [2].

## 5. Solución de (2.7) por el método trapezoidal

Aplicando ahora el método trapezoidal a la ecuación (2.7), resulta el **método implícito**:

$$\mathbf{V}_{n+1} = \mathbf{V}_n + \frac{h}{2} [\Lambda \mathbf{V}_n + \mathbf{g}(t_n) + \Lambda \mathbf{V}_{n+1} + \mathbf{g}(t_{n+1})], \quad \mathbf{V}_0 = \mathbf{u}_0,$$

con  $n \geq 0$ , para resolver la ecuación del calor. Resolviendo este problema para  $\mathbf{V}_{n+1}$ :

$$\left( I - \frac{h}{2} \Lambda \right) \mathbf{V}_{n+1} = \mathbf{V}_n + \frac{h}{2} [\Lambda \mathbf{V}_n + \mathbf{g}(t_n) + \mathbf{g}(t_{n+1})], \quad (5.1)$$

de donde,

$$\mathbf{V}_{n+1} = \left( I - \frac{h}{2} \Lambda \right)^{-1} \left\{ \mathbf{V}_n + \frac{h}{2} [\Lambda \mathbf{V}_n + \mathbf{g}(t_n) + \mathbf{g}(t_{n+1})] \right\}.$$

Como en el caso del método implícito simple, los valores propios de  $(I - \frac{h}{2} \Lambda)^{-1}$  son  $1/(1 - \frac{h}{2} \lambda_j)$ , que también están todos acotados por 1. Así, el método trapezoidal para resolver este problema es estable, tampoco existe limitación en el tamaño de paso  $h$ . A diferencia de los métodos explícito simple e implícito simple que son de orden 1, el método trapezoidal implícito es de orden 2.

## 6. Ejemplo numérico

Resolver el problema de la ecuación diferencial parcial (1.1)-(1.3) con las funciones  $G$ ,  $d_0$ ,  $d_1$  y  $f$ , determinadas a partir de la solución conocida:

$$U(x, t) = \exp \left( \frac{1}{t+1} \right) \cos(\pi x), \quad 0 \leq x \leq 1, \quad t \geq 0.$$

Solución. Los resultados con el método de Euler (3.1) se dan en la tabla 1, con el método de Euler hacia atrás (4.2) en la tabla 2 y con el método trapezoidal (5.1) en la tabla 3. En los tres métodos se consideró  $m = 4, 8, 16, 32$ . Para mantener estabilidad en el método de Euler, se tomó  $h = \frac{1}{2} \delta^2$  como lo exige (3.2). Así,

$h = 3.1250 \times 10^{-2}, 7.8125 \times 10^{-3}, 1.9531 \times 10^{-3}, 4.8828 \times 10^{-4}$ . De (2.6) se sigue que el error en el método de Euler es proporcional a  $\delta^2$ , y como  $h = \frac{1}{2} \delta^2$ , se espera que el error debe decrecer por un factor de 4 cuando  $m$  se duplica, lo que se observa en la tabla 1. En las tablas, la columna "Error" denota el máximo error que ocurre en los nodos  $(x_j, t)$ ,  $0 \leq j \leq m$ , para un valor dado de  $t$ .

Para la solución de (2.7) por los métodos de Euler hacia atrás y trapezoidal, ya no hay dependencia entre el tamaño de paso espacial  $\delta$  y el tamaño de paso del tiempo  $h$ , por lo que es posible usar un valor relativamente grande de  $h$  en estos dos métodos. En las tablas 2 y 3, estamos usando  $h = 0.05$  y  $m = 4, 8, 16, 32$ . Este paso del tiempo  $h$  es mucho mayor que el utilizado en la tabla 1 para el método de Euler y, por lo tanto, los métodos de Euler hacia atrás y trapezoidal son mucho más eficientes para este ejemplo.

Tabla 1: Solución de (2.7) por el método de Euler ( $h = \frac{1}{2} \delta^2$ ).

t	Error m=4	Factor	Error m=8	Factor	Error m=16	Factor	Error m=32
1	1.8067×10 <sup>-2</sup>	4.10	4.4083×10 <sup>-3</sup>	4.02	1.0955×10 <sup>-3</sup>	3.94	2.7790×10 <sup>-4</sup>
2	1.5339×10 <sup>-2</sup>	4.10	3.7445×10 <sup>-3</sup>	4.02	9.3062×10 <sup>-4</sup>	3.94	2.3611×10 <sup>-4</sup>
3	1.4114×10 <sup>-2</sup>	4.10	3.4461×10 <sup>-3</sup>	4.02	8.5649×10 <sup>-4</sup>	3.94	2.1732×10 <sup>-4</sup>
4	1.3424×10 <sup>-2</sup>	4.10	3.2778×10 <sup>-3</sup>	4.02	8.1469×10 <sup>-4</sup>	3.94	2.0671×10 <sup>-4</sup>
5	1.2982×10 <sup>-2</sup>	4.10	3.1700×10 <sup>-3</sup>	4.02	7.8791×10 <sup>-4</sup>	3.94	1.9992×10 <sup>-4</sup>

Tabla 2: Solución de (2.7) por el método de Euler hacia atrás ( $h = 0.05$ ).

t	Error m=4	Error m=8	Error m=16	Error m=32
1	1.8574×10 <sup>-2</sup>	4.7534×10 <sup>-3</sup>	1.4023×10 <sup>-3</sup>	5.7984×10 <sup>-4</sup>
2	1.5454×10 <sup>-2</sup>	3.8227×10 <sup>-3</sup>	1.0001×10 <sup>-3</sup>	3.0451×10 <sup>-4</sup>
3	1.4157×10 <sup>-2</sup>	3.4749×10 <sup>-3</sup>	8.8212×10 <sup>-4</sup>	2.4255×10 <sup>-4</sup>
4	1.3444×10 <sup>-2</sup>	3.2914×10 <sup>-3</sup>	8.2679×10 <sup>-4</sup>	2.1863×10 <sup>-4</sup>
5	1.2993×10 <sup>-2</sup>	3.1775×10 <sup>-3</sup>	7.9455×10 <sup>-4</sup>	2.0646×10 <sup>-4</sup>

Tabla 3: Solución de (2.7) por el método trapezoidal ( $h = 0.05$ ).

t	Error m=4	Error m=8	Error m=16	Error m=32
1	1.8250×10 <sup>-2</sup>	4.4489×10 <sup>-3</sup>	1.1018×10 <sup>-3</sup>	2.7618×10 <sup>-4</sup>
2	1.5382×10 <sup>-2</sup>	3.7542×10 <sup>-3</sup>	9.3252×10 <sup>-4</sup>	2.3609×10 <sup>-4</sup>
3	1.4130×10 <sup>-2</sup>	3.4498×10 <sup>-3</sup>	8.5728×10 <sup>-4</sup>	2.1738×10 <sup>-4</sup>
4	1.3431×10 <sup>-2</sup>	3.2796×10 <sup>-3</sup>	8.1507×10 <sup>-4</sup>	2.0676×10 <sup>-4</sup>
5	1.2986×10 <sup>-2</sup>	3.1710×10 <sup>-3</sup>	7.8813×10 <sup>-4</sup>	1.9995×10 <sup>-4</sup>

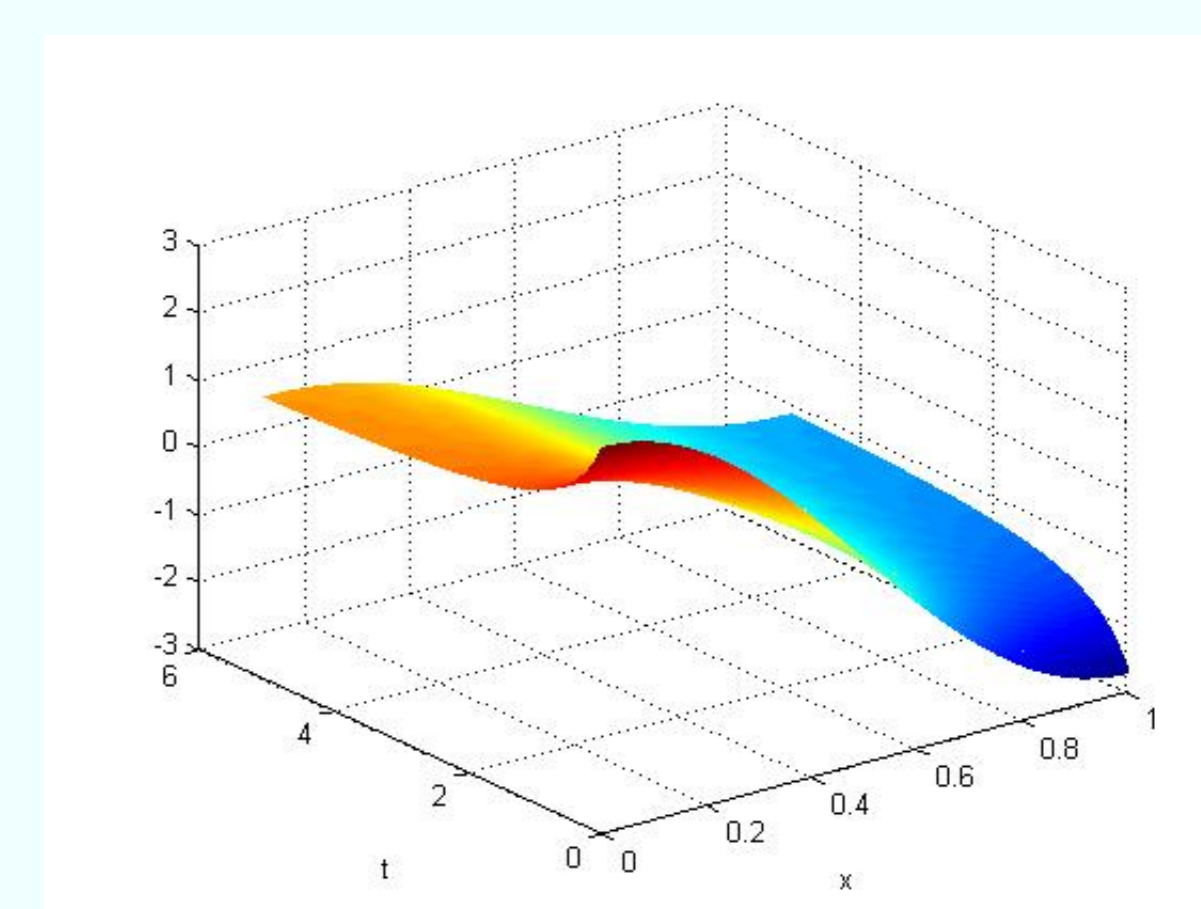


Figura 1: Solución numérica  $u$  con  $m = 32$  y  $h = 0.001$ .

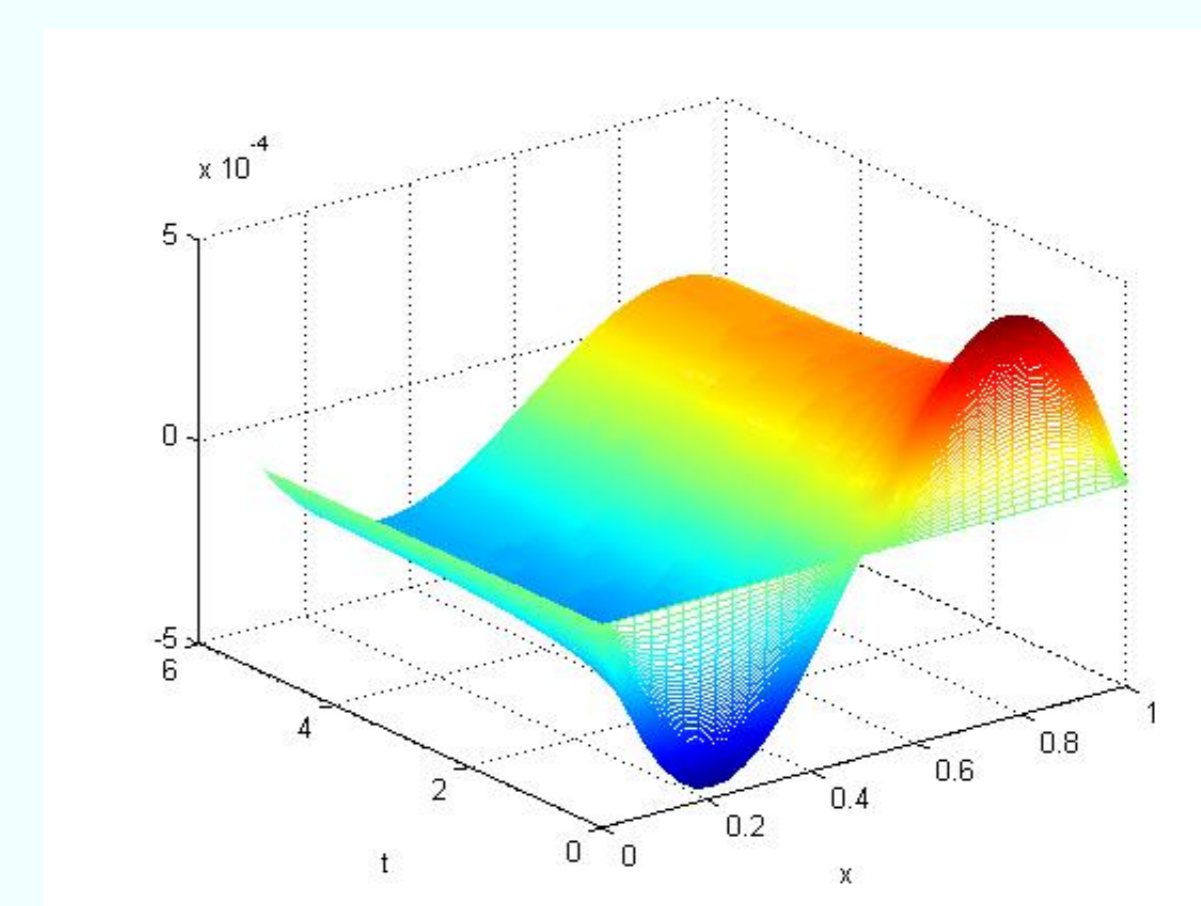


Figura 2: Error en la solución numérica  $u$  con  $m = 32$  y  $h = 0.001$ .

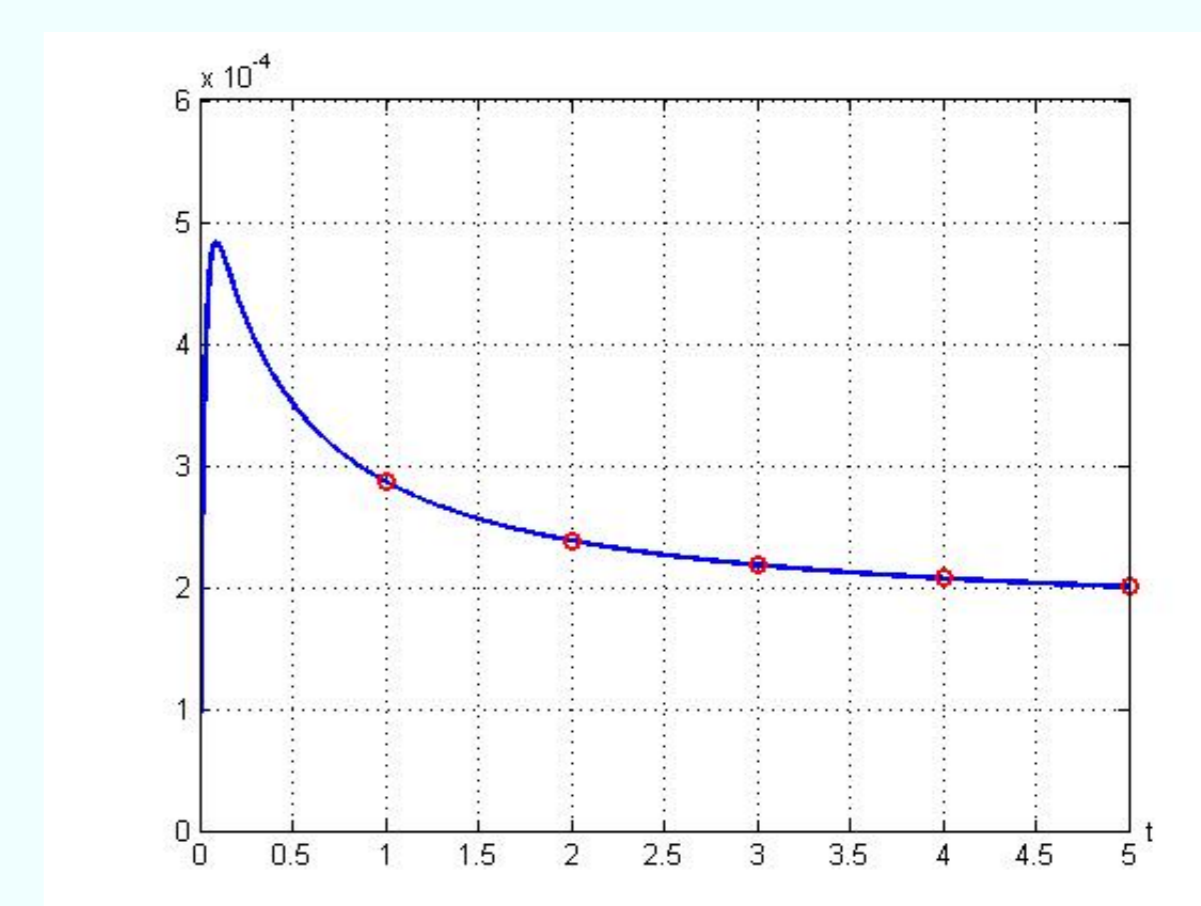


Figura 3: Error máximo para  $x$  en  $[0, 1]$  como función de  $t$ .

Este trabajo está basado principalmente en el libro de Atkinson, Han y Stewart (2009) [2].

## Referencias

- [1] Aiken, R. (1985). *Stiff Computation*, Oxford: Oxford University Press.
- [2] Atkinson, K., Han, W., Stewart, D. (2009). *Numerical Solution of Differential Equations*. New Jersey: Jhon Wiley.
- [3] Schiesser, W. (1991). *The Numerical Method of Lines*, San Diego: Academic Press.